



君芯科技
CAS-IGBT

KWRFF75R12SWM

1200V 75A IGBT 模块

特征

采用最新沟槽栅场截止型IGBT芯片

高可靠性及热稳定性，良好的参数一致性

100% RBSOA测试 ($2*I_C$)

低通态压降 ($V_{CE}=1.83V$)

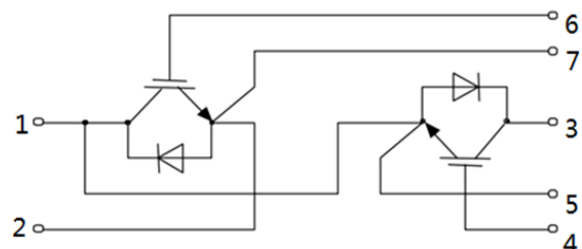
低关断损耗 ($E_{off}=4.63mJ$)

高短路耐量 (>10us)



应用领域

逆变焊机



IGBT(逆变器)最大额定值 (未特殊说明时, $T_j=25^\circ C$)

参数	符号	条件	额定值	单位
集电极-发射极耐压	V_{CES}		1200	V
栅极-发射极耐压	V_{GES}		± 20	V
集电极电流	I_C	$T_c=25^\circ C$	150	A
		$T_c=100^\circ C$	75	
集电极重复峰值电流	I_{CRM}	$t_p=1ms$	150	
耗散功率	P_D	$T_c=25^\circ C, T_{vj\max}=150^\circ C$	357	W
短路承受时间	t_{SC}	$V_{GE}=15V, V_{CC}=600V, T_j=150^\circ C$	>10	μs
工作结温	T_j		-40~150	$^\circ C$

IGBT(逆变器)电学特性 (未特殊说明时, $T_j=25^\circ\text{C}$)

参数	符号	测试条件	最小值	典型值	最大值	单位
静态特性						
集电极-发射极击穿电压	$V_{(\text{BR})\text{CES}}$	$V_{\text{GE}}=0\text{V}, I_c=1\text{mA}$	1200	-	-	
导通压降	$V_{\text{CE}(\text{sat})}$	$V_{\text{GE}}=15\text{V}, I_c=75\text{A}$ $T_j=25^\circ\text{C}$ $T_j=150^\circ\text{C}$	-	1.83	-	V
阈值电压	$V_{\text{GE}(\text{th})}$	$I_c=3\text{mA}, V_{\text{CE}}=V_{\text{GE}}$	-	6.1	-	
集电极-发射极漏电流	I_{CES}	$V_{\text{CE}}=1200\text{V}, V_{\text{GE}}=0\text{V}$	-	-	3	mA
栅极-发射极漏电流	I_{GES}	$V_{\text{CE}}=0\text{V}, V_{\text{GE}}=20\text{V}$	-	-	400	nA
输入电容	C_{iss}	$V_{\text{CE}}=25\text{V}$ $V_{\text{GE}}=0\text{V}$ $f=1\text{MHz}$	-	5731	-	pF
输出电容	C_{oss}		-	318	-	
反馈电容	C_{rss}		-	171	-	
栅电荷	Q_g	$V_{\text{CC}}=200\text{V}, I_c=75\text{A}, V_{\text{GE}}=15\text{V}$	-	351	-	nC
开关特性 (感性负载)						
开通延迟时间	$t_{\text{d(on)}}$	$T_j=25^\circ\text{C}$ $V_{\text{CC}}=600\text{V}$ $I_c=75\text{A}$ $V_{\text{GE}}=\pm 15\text{V}$ $R_g=10\Omega$	-	148	-	ns
上升时间	t_r		-	432	-	
关断延迟时间	$t_{\text{d(off)}}$		-	341	-	
下降时间	t_f		-	56	-	
开通损耗	E_{on}		-	19.5	-	mJ
关断损耗	E_{off}		-	4.63	-	
开关损耗	E_{ts}		-	24.1	-	
开通延迟时间	$t_{\text{d(on)}}$	$T_j=150^\circ\text{C}$ $V_{\text{CC}}=600\text{V}$ $I_c=75\text{A}$ $V_{\text{GE}}=\pm 15\text{V}$ $R_g=10\Omega$	-	175	-	ns
上升时间	t_r		-	621	-	
关断延迟时间	$t_{\text{d(off)}}$		-	412	-	
下降时间	t_f		-	128	-	
开通损耗	E_{on}		-	28.2	-	mJ
关断损耗	E_{off}		-	6.72	-	
开关损耗	E_{ts}		-	35.0	-	
集电极短路电流	I_{SC}	$V_{\text{GE}}=15\text{V}, V_{\text{CC}}=600\text{V}, T_j=150^\circ\text{C}, t_p \leq 10\mu\text{s}$	-	320	-	A
壳到结的热阻	R_{thJC}	每个IGBT	-	-	0.35	K/W

二极管(逆变器)最大额定值 (未特殊说明时, $T_j=25^\circ\text{C}$)

参数	符号	条件	额定值	单位
反向重复峰值电压	V_{RRM}		1200	V
连续正向直流电流	I_F	$T_C=25^\circ\text{C}$	80	A
		$T_C=100^\circ\text{C}$	40	
正向重复峰值电流	I_{FRM}	$t_p=1\text{ms}$	80	
工作结温	T_j		-40~150	°C

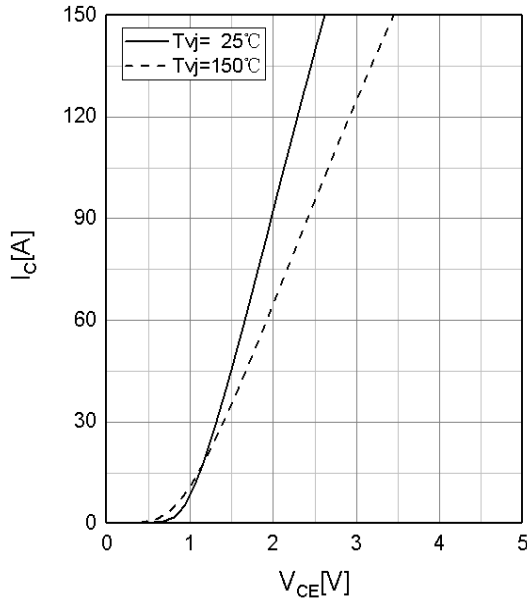
二极管(逆变器)电学特性 (未特殊说明时, $T_j=25^\circ\text{C}$)

参数	符号	条件	最小值	典型值	最大值	单位
正向压降	V_F	$I_F=75\text{A}$ $T_j=25^\circ\text{C}$ $T_j=150^\circ\text{C}$	- -	2.05 2.0	- -	V
反向恢复时间	t_{rr}	$T_j=25^\circ\text{C}$	-	230	-	ns
反向恢复电荷	Q_{rr}	$V_R=600\text{V}, I_F=75\text{A}$	-	3.30	-	μC
反向恢复峰值电流	I_{rrm}	- $\text{di}/\text{dt}=600\text{A}/\mu\text{s}$	-	26.0	-	A
反向恢复时间	t_{rr}	$T_j=150^\circ\text{C}$	-	300	-	ns
反向恢复电荷	Q_{rr}	$V_R=600\text{V}, I_F=75\text{A}$	-	6.8	-	μC
反向恢复峰值电流	I_{rrm}	- $\text{di}/\text{dt}=600\text{A}/\mu\text{s}$	-	35.0	-	A
壳到结的热阻	R_{thJCD}	每个二极管	-	0.7	-	K/W

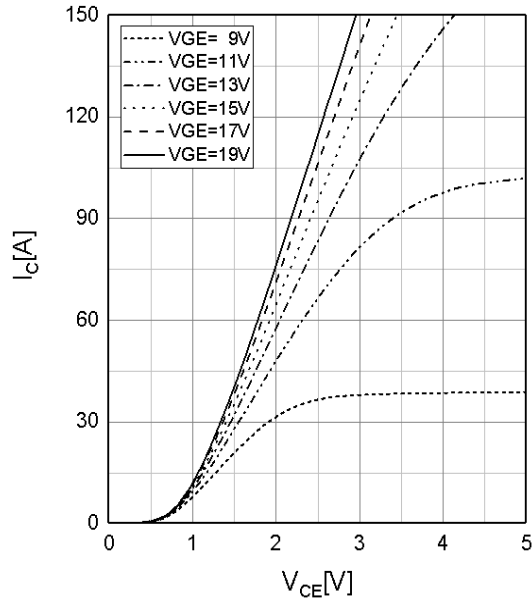
模块

参数	符号	测试条件	最小值	典型值	最大值	单位
绝缘测试电压	V_{ISOL}	$f = 50\text{Hz}, 1\text{minute}$	2500	-	-	V
最大结温	$T_{vj\ max}$		-	-	150	°C
工作结温	T_j		-40	-	150	°C
外壳—散热器热阻	$R_{θCS}$	每个模块	-	0.03	-	K/W
储存温度	T_{stg}		-40	-	125	°C
模块安装扭距	M	Mounting Screw:M5	2.5	-	5.0	N·m
端子联结扭矩	M	Mounting Screw:M6	3.0	-	5.0	N·m
重量	G		-	170	-	g

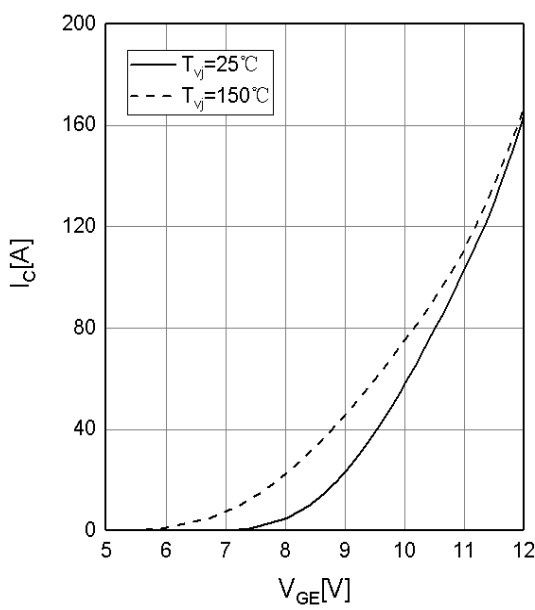
输出特性 IGBT, 逆变器 (典型)
output characteristic IGBT,Inverter (typical)
 $I_C = f(V_{CE})$ $V_{GE} = 15\text{ V}$



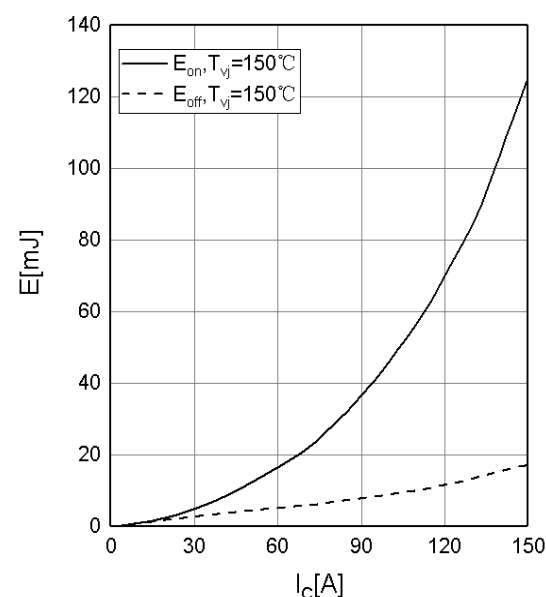
输出特性 IGBT, 逆变器 (典型)
output characteristic IGBT,Inverter (typical)
 $I_C = f(V_{CE})$ $T_j = 150^\circ\text{C}$



传输特性 IGBT, 逆变器 (典型)
transfer characteristic IGBT,Inverter(typical)
 $I_C = f(V_{GE})$ $V_{CE} = 20\text{ V}$

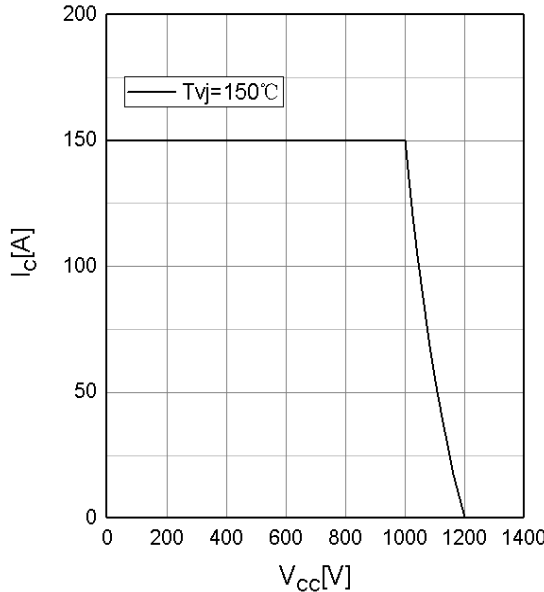
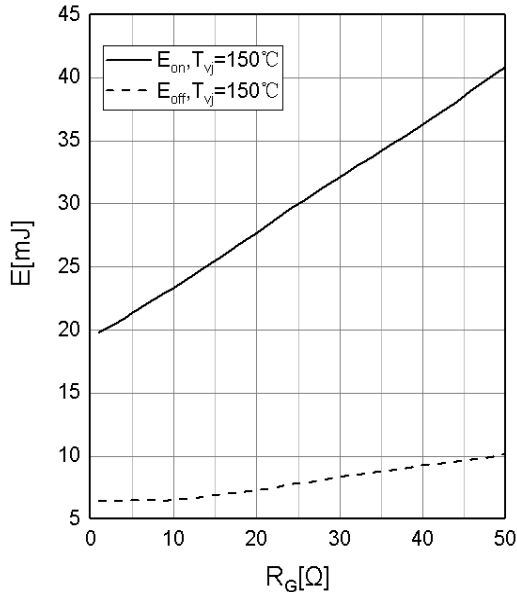


开关损耗 IGBT, 逆变器 (典型)
switching losses IGBT,Inverter (typical)
 $E_{on} = f(I_C)$, $E_{off} = f(I_C)$
 $V_{GE} = \pm 15\text{ V}$, $R_{Gon} = 10\Omega$, $R_{Goff} = 10\Omega$, $V_{CE} = 600\text{ V}$



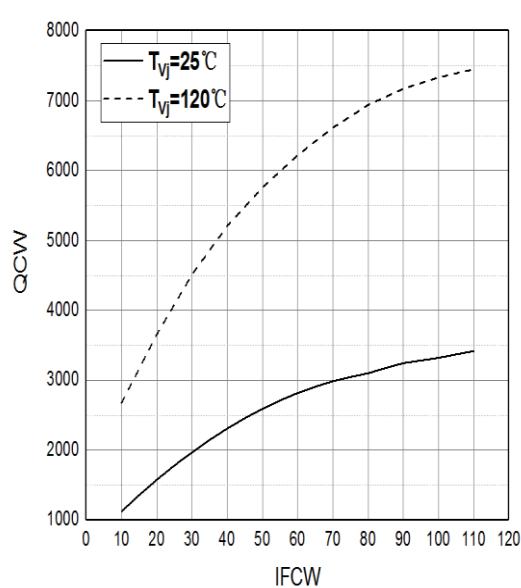
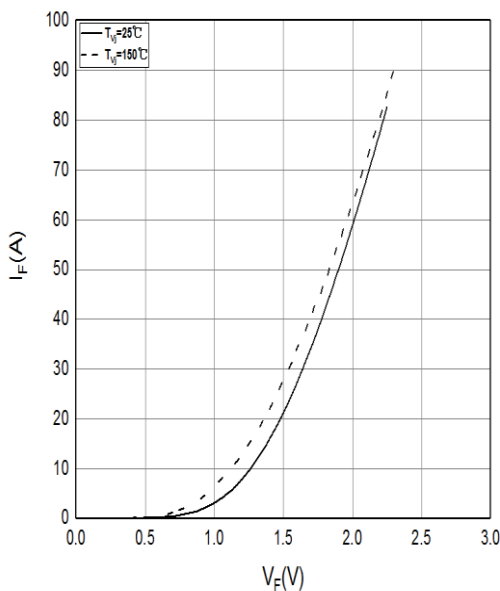
开关损耗 IGBT, 逆变器 (典型)
switching losses IGBT,Inverter (typical)
 $E_{on} = f(R_G)$, $E_{off} = f(R_G)$
 $V_{GE} = \pm 15 V$, $I_C = 75 A$, $V_{CE} = 600 V$

反偏安全工作区 IGBT, 逆变器 (RBSOA)
reverse bias safe operating area IGBT,Inverter
 $I_C = f(V_{CE})$
 $V_{GE} = \pm 15 V$, $R_{Goff} = 10 \Omega$, $T_J = 150^\circ C$

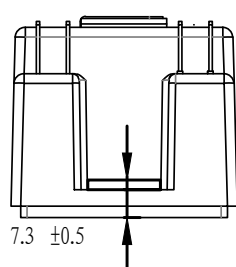
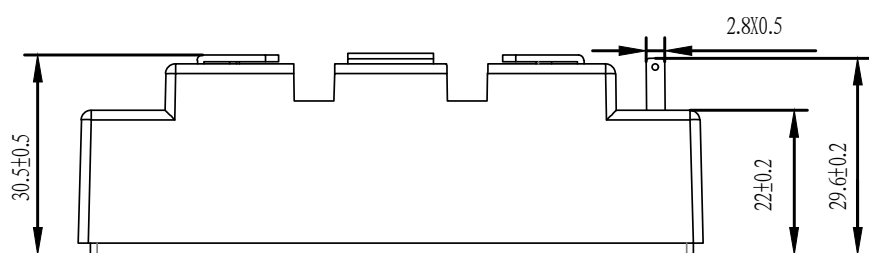
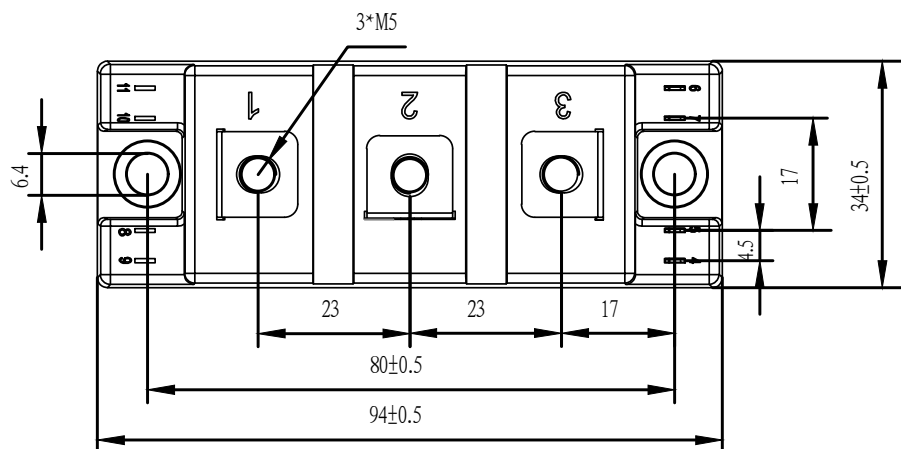


正向偏压特性 二极管, 逆变器 (典型)
forward characteristic of Diode, Inverter (typical)
 $I_F = f(V_F)$

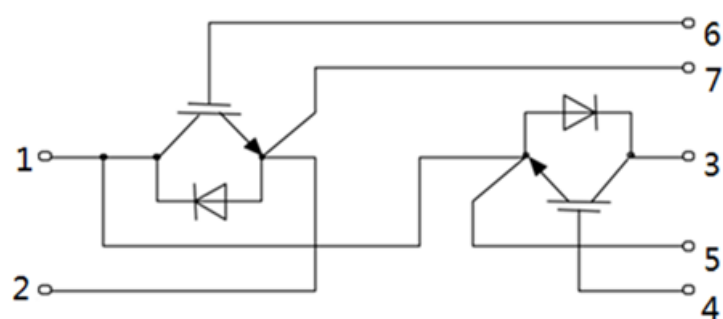
恢复电荷 二极管, 逆变器 (典型)
recovered charge of Diode, Inverter (typical)
 $Q_{rr} = f(IF)$



模块尺寸 (单位: mm)



电路示意图



X-ON Electronics

Largest Supplier of Electrical and Electronic Components

Click to view similar products for IGBT Transistors category:

Click to view products by JUNSHINE manufacturer:

Other Similar products are found below :

[748152A](#) [FGH60T65SHD_F155](#) [APT100GT60B2RG](#) [APT13GP120BG](#) [APT20GN60BG](#) [APT20GT60BRDQ1G](#) [APT25GN120B2DQ2G](#)
[APT35GA90BD15](#) [APT36GA60BD15](#) [APT40GP60B2DQ2G](#) [APT40GP90B2DQ2G](#) [APT50GN120B2G](#) [APT50GT60BRG](#)
[APT64GA90B2D30](#) [APT70GR120J](#) [NGTB10N60FG](#) [NGTB30N60L2WG](#) [NGTG25N120FL2WG](#) [IGP30N60H3XKSA1](#) [STGB15H60DF](#)
[STGFW20V60DF](#) [STGFW30V60DF](#) [STGFW40V60F](#) [STGWA25H120DF2](#) [FGB3236_F085](#) [APT25GN120BG](#) [APT25GR120S](#)
[APT30GN60BDQ2G](#) [APT30GN60BG](#) [APT30GP60BG](#) [APT30GS60BRDQ2G](#) [APT30N60BC6](#) [APT35GP120JDQ2](#) [APT36GA60B](#)
[APT45GR65B2DU30](#) [APT50GP60B2DQ2G](#) [APT68GA60B](#) [APT70GR65B](#) [APT70GR65B2SCD30](#) [GT50JR22\(STA1ES\)](#) [TIG058E8-TL-H](#)
[IDW40E65D2](#) [SGB15N120ATMA1](#) [NGTB50N60L2WG](#) [STGB10H60DF](#) [STGB20V60F](#) [STGB40V60F](#) [STGFW80V60F](#)
[IGW40N120H3FKSA1](#) [RJH60D7BDPQ-E0#T2](#)